

РОССИЙСКАЯ АКАДЕМИЯ НАУК

ТЕОРЕТИЧЕСКИЕ ОСНОВЫ
ХИМИЧЕСКОЙ
ТЕХНОЛОГИИ

Том 26

(ОТДЕЛЬНЫЙ ОТТИСК)

УДК 536.24 : 532.135

© 1992 г. Л. М. УЛЬЕВ

ТЕЧЕНИЕ И ТЕПЛООБМЕН ВЫСОКОВЯЗКОЙ ЖИДКОСТИ В КРУГЛОМ КОНФУЗОРЕ

Приведено решение нелинейной задачи конвективного теплообмена высоковязкой ньютоновской жидкости в круглом конфузоре с учетом диссипативных эффектов и с граничными условиями третьего рода. Для решения задачи развит численный метод, который можно отнести к интегрионтерполяционным методам с частичной дискретизацией области решения.

При проектировании аппаратов переработки термопластичных материалов необходимо знать распределения температуры, скорости и давления в каналах фильтрной головки, которые определяют технологический режим процесса, а также металлоемкость и энергозатраты оборудования [1]. Как правило, фильтрные каналы состоят из цилиндра и расположенного перед ним конфузора, служащего для устранения застойных зон в течении расплава, образование которых ведет к ухудшению качества получаемого продукта [2].

Задача о неизотермическом течении в круглом цилиндрическом канале для kleевых марок термопластичных полиуретанов (ТПУ), расплавы которых в пределах изменения параметров переработки можно рассматривать как ньютоновские жидкости с характерной зависимостью вязкости от температуры [3]

$$\mu(T) = \mu_0 \exp(E/R) (1/T - 1/T_0), \quad (1)$$

где $\mu_0 \approx 10^3$ Па·с; $E \approx 5 \cdot (10^4 \dots 10^6)$ Дж/моль; $T_0 \approx 470$ К, рассмотрена в [4–6]. В этих работах показана возможность управления процессом формирования полей скорости и температуры в канале фильтры гранулятора ТПУ, что дает дополнительные возможности управления качеством получаемого продукта. Но в [4–6] начальные условия выбраны достаточно произвольно, и для более точного решения задачи необходимо рассмотреть конвективный теплообмен расплава в конической части фильтры.

Неизотермическое течение в конусе для жидкости с экспоненциальной зависимостью вязкости от температуры $\mu = \mu_0 \exp(-bT)$ исследовано в [7] при заданной температуре жидкости на стенке и без учета диссипативных эффектов, пренебрежение которыми при описании течения рассматриваемых расплавов ТПУ недопустимо [4–6]. Кроме того, теплообмен на внутренней поверхности стенки в большинстве инженерных приложений течения высоковязких жидкостей лучше всего задавать граничными условиями третьего рода [8]. В [9] для расчета конвективных течений предложено использовать ступенчатую аппроксимацию конфузора цилиндрическими каналами, что возможно только при очень малых углах раствора. Более того, вязкость по сечению каждого цилиндрического участка считается постоянной, и не учтено влияние поперечной составляющей конвективного потока тепла.

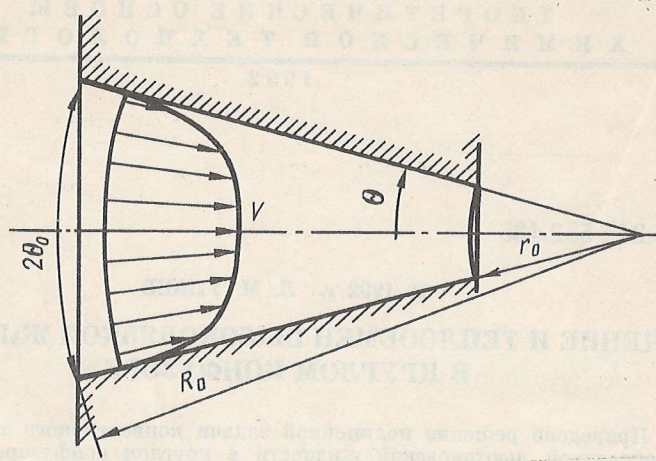


Рис. 1. Расчетная схема конфузора

Решению этих вопросов конвективного теплообмена в конфузоре для высоковязких жидкостей с реологическим законом $\sigma = \mu \dot{\gamma}$, где μ определяется из (1), посвящена настоящая работа.

Для практических важных значений параметров рассматриваемой задачи число Рейнольдса мало. Действительно, при $\rho \approx 10^3$ кг/м³, $\mu \approx 10^3$ Па·с, $a \approx 10^{-7}$ м²/с, $Q \approx (10^{-7} \dots 10^{-4})$ м³/с, $2\theta_0 \approx 5^\circ \dots 40^\circ$, $R_0 \approx 5 \cdot 10^{-2}$ м число Рейнольдса $Re \approx 10^{-4}$. При этих условиях длина начального гидродинамического участка [10]

$$l_r \approx 0,16 Re \theta_0 \approx 10^{-6} \text{ м.} \quad (2)$$

Величина $Pr \approx 10^7$ позволяет считать, что течение в канале происходит в пределах теплового начального участка, длину которого можно оценить [11] как

$$l_t \approx Pr l_r \approx 10 \text{ м.} \quad (3)$$

В [12] показано, что при медленном течении вязкой жидкости в конусе с углом раскрытия $2\theta_0 < 120^\circ$ (рис. 1) $V_r = f(1/r^2)\phi(\theta) + o(1/r^2)$; $V_\theta = o(1/r^2)$, что позволяет пренебречь членами с угловой составляющей скорости в уравнениях переноса импульса, записанных в сферических координатах. Большое число Пекле ($Pe = Re Pr \approx 10^3$), а также оценка производных по продольной и поперечной координатам (рис. 1) $\partial T / \partial r \sim T / l_r$, $(1/r) \partial T / \partial \theta \sim T / (R_0 \theta_0)$ и малость числа Рейнольдса позволяют упростить стационарную систему уравнений гидродинамики и теплопереноса [13], которую, используя безразмерные переменные и параметры

$$\begin{aligned} \xi &= \frac{r}{R_0}; & \tau &= \cos \theta; & v &= \frac{V_r}{V_0}; & \omega &= \frac{V_\theta}{V_0}; & \Pi &= \frac{(P - P_0)R_0}{\mu(T_0)V_0}; \\ \Theta &= \frac{E}{RT_0^2}(T - T_0); & \beta &= \frac{RT_0}{E}; & m &= \frac{\mu(T)}{\mu(T_0)} = \exp\left(-\frac{\Theta}{1 + \beta \Theta}\right); \\ Pe_0 &= \frac{V_0 R_0}{a}; & Gn_0 &= \frac{\mu(T_0) V_0 E}{\lambda R T_0^2}; & Bi &= \frac{K R_0}{\lambda}; & V_0 &= \frac{Q}{2\pi(1 - \cos \theta_0) R_0 r_0}, \end{aligned}$$

запишем в виде

$$\frac{1}{m} \frac{\partial \Pi}{\partial \xi} = \frac{1}{\xi^2} \frac{\partial}{\partial \xi} \left(\xi^2 \frac{\partial v}{\partial \xi} \right) + \frac{1}{\xi} \frac{\partial}{\partial \tau} \left[(1 - \tau^2) \frac{\partial v}{\partial \tau} \right] - \frac{2v}{\xi^2}; \quad (4)$$

$$\frac{1}{m} \frac{\partial \Pi}{\partial \tau} = \frac{2}{\xi} \frac{\partial v}{\partial \tau}; \quad (5)$$

$$\frac{1}{\xi^2} \frac{\partial}{\partial \xi} (\xi^2 v) - \frac{1}{\xi} \frac{\partial}{\partial \tau} (\sqrt{1-\tau^2} \omega) = 0; \quad (6)$$

$$v \frac{\partial \Theta}{\partial \xi} - \omega \frac{\sqrt{1-\tau^2}}{\xi} \frac{\partial \Theta}{\partial \tau} = \frac{1}{Pe_0 \xi^2} \frac{\partial}{\partial \tau} \left[(1-\tau^2) \frac{\partial \Theta}{\partial \tau} \right] + \frac{Gn_0}{Pe_0} \Phi, \quad (7)$$

$$\Phi = m \frac{1}{\xi} \left[4v^2 + (1-\tau^2) \left(\frac{\partial v}{\partial \tau} \right)^2 \right] + 2 \left(\frac{\partial v}{\partial \xi} \right)^2$$

с граничными условиями

$$\Pi = 0, \quad \xi = 1, \quad \tau = \cos \theta_0; \quad (8)$$

$$v = 0, \quad \omega = 0, \quad \frac{\sqrt{1-\tau^2}}{\xi} \frac{\partial \Theta}{\partial \tau} = Bi(\Theta - \Theta_a), \quad \tau = \cos \theta_0; \quad (9)$$

$$\frac{\partial \Theta}{\partial \tau} = 0, \quad \tau = 1; \quad (10)$$

$$\Theta = 0, \quad \xi = 1, \quad \cos \theta_0 \leq \tau \leq 1. \quad (11)$$

Кроме этого, необходимо учесть условие постоянства расхода.

Отметим, что в качестве температурного масштаба выбрана разность температур, характерная для существенного изменения реологических свойств расплава [14]:

$$\Delta T_p = \left| \mu(T) \left/ \left(\frac{d\mu}{dT} \right) \right. \right|_{T=T_0} = T_0^2 R/E,$$

а безразмерное число Нема – Гриффита $Gn_0 = \mu(T_0) V_0^2 / (\lambda \Delta T_p)$ характеризует отношение интенсивности тепловыделения за счет вязкой диссипации к интенсивности теплопередачи, необходимой для существенного изменения вязкости.

Соотношения (2), (3) свидетельствуют о том, что длина интервала, где происходят механические релаксации, много меньше интервала температурных релаксаций, т. е. течение гидродинамически стабилизировано, и распределение скорости в поперечном сечении конфузора определяется распределением температуры. Поэтому за начальное распределение скорости можно выбрать распределение Харрисона для установившегося изотермического течения [12], соответствующее начальному распределению температуры, а в каждом последующем сечении рассчитывать поле скорости для соответствующего распределения температуры, т. е. уравнения гидродинамики и теплопереноса необходимо решать совместно.

Для этого разобьем канал на N концентрических слоев и предположим, что коэффициент вязкости в поперечном сечении любого слоя постоянен и равен коэффициенту вязкости, взятому при средней по сечению этого

слоя температуре $\bar{\Theta} = \int_{\tau_{i-1}}^{\tau_i} \Theta(\tau) d\tau / (\tau_i - \tau_{i-1})$. Благодаря такому подходу

уравнения гидродинамики (4) – (6) расщепляются на систему $3N$ уравнений, которая (с учетом $\omega = o(v)$) запишется в виде

$$\frac{1}{m_i} \frac{\partial \Pi_i}{\partial \xi} = \frac{1}{\xi^2} \frac{\partial}{\partial \xi} \left(\xi^2 \frac{\partial v_i}{\partial \xi} \right) + \frac{1}{\xi} \frac{\partial}{\partial \tau} \left[(1-\tau^2) \frac{\partial v_i}{\partial \tau} \right] - \frac{2v_i}{\xi^2}; \quad (12)$$

$$(6) \quad \frac{1}{m_i} \frac{\partial \Pi_i}{\partial \tau} = \frac{2}{\xi} \frac{\partial v_i}{\partial \tau}; \quad (13)$$

$$(7) \quad \frac{1}{\xi^2} \frac{\partial}{\partial \xi} (\xi^2 v_i) = 0. \quad (14)$$

(Здесь и далее, если специально не оговорено, $i=1, 2, \dots, N$.)

На границах слоев должны выполняться условия сопряжения

$$v_{i-1} = v_i, \quad m_{i-1} \frac{\partial v_{i-1}}{\partial \tau} = m_i \frac{\partial v_i}{\partial \tau}, \quad i=2, 3, \dots, N. \quad (15)$$

Условие постоянства расхода запишется в виде

$$(8) \quad \xi^2 \sum_{i=1}^N \int_{\tau_{i-1}}^{\tau_i} v_i d\tau = \Lambda (1 - \tau_N), \quad \Lambda = r_0/R_0. \quad (16)$$

Из (14) следует зависимость $v_i = u_i(\tau)/\xi^2$, подставляя которую в (12), (13) и разделяя переменные, получим для $u_i(\tau)$ уравнение

$$(1+\tau^2) \frac{\partial^2 u_i}{\partial \tau^2} - 2\tau \frac{\partial u_i}{\partial \tau} + 6u_i = k_i,$$

решение которого с учетом граничных условий (9) и (15), (16) имеет вид

$$(17) \quad u_i(\tau) = \frac{k_N}{6} \left\{ \frac{m_N}{P_2(\tau_N)} \left[\frac{P_2(\tau_N)}{m_i} - S_i \right] - 1 \right\}, \quad \tau_i \leq \tau \leq \tau_{i-1},$$

где $P_2(x)$ — многочлен Лежандра 2-й степени;

$$\begin{aligned} k_N &= [6\Lambda(\tau_N - 1)] / \sum_{k=1}^N \left\{ \frac{m_N [(\tau_k^3 - \tau_k) - (\tau_{k-1}^3 - \tau_{k-1})]}{2m_k P_2(\tau_k)} + \right. \\ &\quad \left. + \left[\frac{m_N}{P_2(\tau_N)} S_k - 1 \right] (\tau_k - \tau_{k-1}) \right\}; \\ S_i &= \sum_{k=1}^{N-1} \left(\frac{1}{m_{i+k}} - \frac{1}{m_k} \right) P_2(\tau_k). \end{aligned}$$

Распределение угловой составляющей скорости определим, интегрируя (3) по толщине слоя. Учитывая условия сопряжения

$$\omega_{i-1} = \omega_i, \quad \tau = \tau_i,$$

получим значения ω на границе слоев:

$$\omega_i = \frac{1}{\xi \sqrt{1 - \tau_i^2}} \sum_{j=1}^i (\tau_j - \tau_{j-1}) \frac{d\bar{u}_j}{d\xi},$$

где \bar{u}_i определяется из (17) усреднением по толщине слоя:

$$\bar{u}_i = k_N \left\{ \frac{m_N (\tau_i^2 - \tau_i \tau_{i-1} - \tau_{i+1}^2 + 1)}{2P_2(\tau_N)m_i} + \left[\frac{m_N}{P_2(\tau_N)} S_i - 1 \right] \right\}.$$

Суммируя (6), (7), получим выражение

$$\frac{1}{\xi^2} \frac{\partial}{\partial \xi} (\xi^2 v \Theta) - \frac{1}{\xi} \frac{\partial}{\partial \tau} (\sqrt{1-\tau^2} \omega \Theta) = \frac{1}{Pe_0 \xi} \frac{\partial}{\partial \tau} \left[(1-\tau^2) \frac{\partial \Theta}{\partial \tau} \right] + \frac{Gn_0}{Pe_0} \Phi.$$

О средней его по поперечному сечению слоя с условиями на границах

$$\begin{aligned}\omega_i(\tau) &= \omega_{i-1}, \quad \Theta_i = \bar{\Theta}_{i-1}, \quad \tau = \tau_{i-1}; \\ \omega_i(\tau) &= \omega_i, \quad \Theta_i = \bar{\Theta}_{i+1}, \quad \tau = \tau_i\end{aligned}$$

и заменяя значения кондуктивных потоков на границах слоев приближенными выражениями

$$\frac{\sqrt{1-\tau^2}}{\xi} \frac{\partial \Theta_i}{\partial \tau} = - \frac{R_0 \alpha_{i-1}}{\lambda} (\bar{\Theta}_i - \bar{\Theta}_{i-1}), \quad \tau = \tau_{i-1}; \quad (18)$$

$$\frac{\sqrt{1-\tau^2}}{\xi} \frac{\partial \Theta_i}{\partial \tau} = \frac{R_0 \alpha_i}{\lambda} (\bar{\Theta}_i - \bar{\Theta}_{i+1}), \quad \tau = \tau_i, \quad (19)$$

получим систему обыкновенных дифференциальных уравнений, определяющих средние температуры в слоях:

$$\frac{d\bar{\Theta}_i}{d\xi} = \frac{1}{\xi (\tau_i - \tau_{i-1}) \bar{u}_i} \left\{ \sqrt{1-\tau_{i-1}^2} (\omega_{i-1} + St_{i-1}) (\bar{\Theta}_i - \bar{\Theta}_{i-1}) - \sqrt{1-\tau_i^2} (\omega_i - St_i) (\bar{\Theta}_i - \bar{\Theta}_{i+1}) \right\} + \frac{Gn_0}{Pe_0} \frac{\Phi_i}{\bar{u}_i}, \quad (20)$$

где

$$\begin{aligned}\Phi_i &= \frac{k_N^2 m_N^2}{4 P_2^2(\tau_N) m_i \xi^2} \frac{(1-\tau^2) \tau^2}{\xi^2} + \frac{2m_i}{\xi^4} \left\{ \frac{6}{\xi^2} \frac{du_i(\tau)}{d\xi} - \right. \\ &\quad \left. - \frac{4}{\xi} \frac{u_i(\tau)}{d\xi} \frac{du_i(\tau)}{d\xi} + \left[\frac{du_i(\tau)}{d\xi} \right]^2 \right\}\end{aligned}$$

— величины диссипативных потерь в слое; $St_i = \alpha_i / (c_p V_0)$.

Уравнения для расчета давлений в слоях получим усреднением по толщине слоя (12) с учетом (14):

$$\frac{d\Pi_i}{d\xi} = \frac{m_N k_N}{2 \xi^4} [1 - (\tau_{i-1}^2 + \tau_{i-1} \tau_i + \tau_i^2)]. \quad (21)$$

Коэффициенты теплообмена между слоями α_i можно определить, рассмотрев стационарную задачу теплообмена между тремя соседними коническими слоями:

$$\begin{aligned}\frac{\partial}{\partial \tau} \left[(1-\tau^2) \frac{\partial \Theta}{\partial \tau} \right] &= 0, \quad \tau_i \leq \tau \leq \tau_{i-1}; \\ \Theta &= \bar{\Theta}_{i-1}, \quad \tau = \tau_{i-1}; \\ \Theta &= \bar{\Theta}_i, \quad \tau = \tau_i.\end{aligned}$$

Учитывая (9), (10), (18), (19), получим

$$\alpha_i = 2\lambda / [R_0 \xi \sqrt{1-\tau_i^2} (l_i - g_i)], \quad i = 1, 2, \dots, N-1;$$

$$\alpha_N = \lambda / \left(R_0 \xi \sqrt{1-\tau_N^2} \left\{ -\frac{1}{Bi \xi \sqrt{1-\tau_N^2}} + \right. \right. \\ \left. \left. + \frac{1}{2(\tau_N - \tau_{N-1})} \left[(1+\tau_{N-1}) \ln \frac{1+\tau_N}{1+\tau_{N-1}} + (1-\tau_{N-1}) \ln \frac{1-\tau_N}{1-\tau_{N-1}} \right] \right\} \right),$$

где

$$l_i = \frac{1}{\tau_i - \tau_{i-1}} \left[(1+\tau_{i-1}) \ln \frac{1+\tau_i}{1+\tau_{i-1}} + (1-\tau_{i-1}) \ln \frac{1-\tau_i}{1-\tau_{i-1}} \right];$$

$$g_i = \frac{1}{\tau_{i+1} - \tau_i} \left[(1+\tau_{i+1}) \ln \frac{1+\tau_{i+1}}{1+\tau_i} + (1-\tau_{i+1}) \ln \frac{1-\tau_{i+1}}{1-\tau_i} \right].$$

В качестве примера рассмотрим течение ТПУ kleевого назначения при следующих параметрах: $\Lambda=8,67 \cdot 10^{-2}$; $2\theta_0=30^\circ$; $\beta=1,44 \cdot 10^{-2}$; $Re_0=2,02 \cdot 10^4$; $Gn=1,654$; $Bi=169,8$; $\lambda=0,2$ Вт/(м·К); $c=2 \cdot 10^3$ Дж/(кг·К); $N=20$ и различной температуре окружающей среды: $\Theta_a=0; 1,5; -1,5$, а также при адиабатическом режиме течения ($Bi=0$). Для расчета течения с адиабатической стенкой канала необходимо положить в (19) $\alpha_N=0$ или, что то же самое, в (20) $St_N=0$.

Во всех случаях особенности течения высоковязкой жидкости определяются полями температур в канале, которые зависят от диссипативных потерь, интенсивности процессов переноса теплоты и условий теплообмена с окружающей средой.

Этим объясняется то, что при $\Theta_a=0$ распределение скорости (рис. 2, a) и перепад давления (рис. 3) почти не отличаются от распределения этих величин при течении жидкости с постоянными свойствами (изотермические условия). При $\Theta_a=1,5$ жидкость нагревается от окружающей среды, но (из-за малой теплопроводности) только в тонком периферийном слое (рис. 2, z), что ведет к уменьшению в нем вязкости и уплощению профиля скорости (рис. 2, a). Изменение профиля скорости вдоль течения хорошо иллюстрируется изменением и на оси канала (рис. 4). При $\Theta_a=-1,5$ жидкость у стенок остывает (рис. 2, d), вязкость увеличивается, в итоге значительная часть жидкости протекает через центральную часть канала (рис. 2, б, 4).

Течение жидкости вдоль конфузора сопровождается увеличением средней скорости по сечению канала. Это ведет к увеличению градиента скорости, особенно в периферийной области течения, и, следовательно, к росту диссипации энергии у стенок канала (рис. 2, e), благодаря чему повышается температура (рис. 2, z, d), а значит, уменьшается вязкость (рис. 2, б). Профиль скорости при этом становится более наполненным (рис. 2, a), что приводит к еще большему увеличению градиента скорости у стенок канала, и все большая часть энергии выделяется во все более тонком слое (рис. 2, e).

На некотором расстоянии от входа эффекты, связанные с диссипацией механической энергии, становятся преобладающими, и, хотя давление возрастает, его градиент уменьшается по сравнению с изотермическим течением (рис. 3). Это связано с тем, что приток теплоты диссипации в жидкости начинает преобладать над теплоотдачей к окружающей среде, и жидкость нагревается.

Для течения на начальном тепловом участке, когда изменение температуры происходит за счет энергии диссипации, характерны незначительные изменения среднемассовой температуры $\bar{\Theta}=\sum_{i=1}^N (\tau_i - \tau_{i-1}) \bar{u}_i \bar{\Theta}_i / (1-\tau_N)$. При $\Theta_a=0$ средняя температура возрастает только вблизи выхода

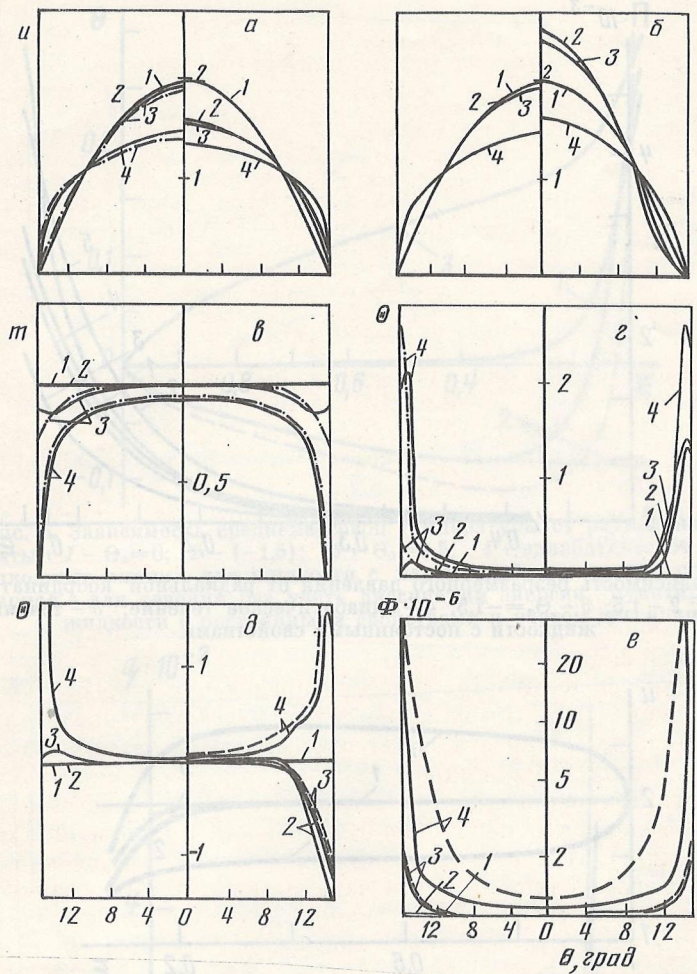


Рис. 2. Распределение по угловой координате скорости (*a*, *b*), температуры (*c*, *d*) (здесь левая часть рисунка – для случая $\Theta_a=0$, правая: *a* – для $\Theta_a=1,5$; *b* – для $\Theta_a=-1,5$), безразмерной вязкости и плотности энергии диссипации для случая $\Theta_a=0$ (*e*, *f*); сплошные линии – для жидкости с переменной вязкостью, штрихпунктирные – для адиабатического течения при переменной вязкости, пунктируемые – для жидкости с постоянными свойствами: 1 – $\xi=1$; 2 – 0,6; 3 – $\xi=0,2$; 4 – на выходе из конфузора

из конфузора, где становится существенной диссипация энергии (рис. 5). При $\Theta_a=-1,5$ жидкость остывает у стенок, и вязкость повышается, что приводит к вытягиванию профиля скорости (рис. 2, *b*). Поэтому средняя температура в большей части конфузора остается выше, чем при течении жидкости с постоянными свойствами (рис. 5). И только при малых значениях радиуса, когда мощность диссипативных источников в течении жидкости с переменными свойствами за счет уменьшения вязкости становится заметно ниже по сравнению с мощностью источников в течении жидкости без изменения свойств, средняя температура последней оказывается выше (рис. 5). При $\Theta_a=1,5$ так же, как при $\Theta_a=-1,5$, в начале конфузора средняя температура заметно изменяется вследствие теплообмена с окружающей средой. Этому способствует и малая скорость течения в начале канала.

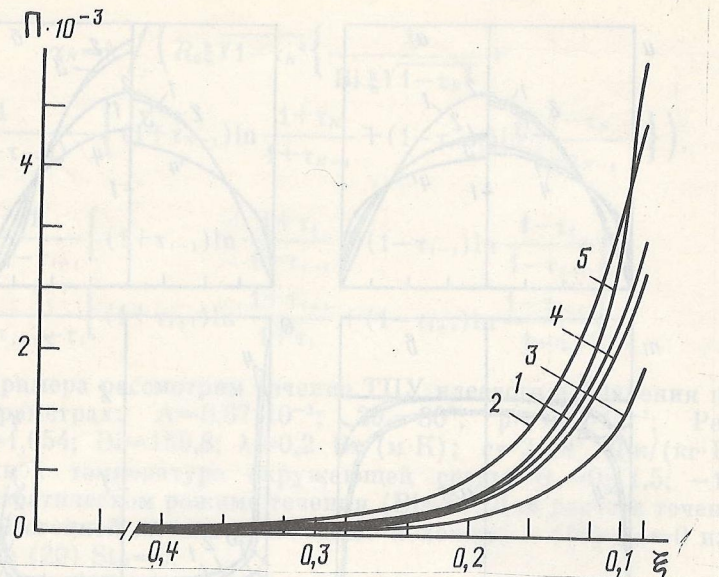


Рис. 3. Зависимость безразмерного давления от радиальной координаты:
1 – $\Theta_a=0$; 2 – $\Theta_a=1,5$; 3 – $\Theta_a=-1,5$; 4 – адиабатическое течение;
5 – течение жидкости с постоянными свойствами

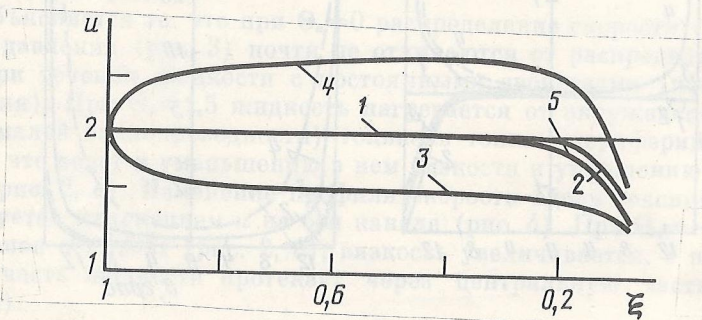


Рис. 4. Изменение радиальной скорости на оси конфузора: 1 – изотермическое течение; 2 – $\Theta_a=0$; 3 – $\Theta_a=1,5$; 4 – $\Theta_a=-1,5$; 5 – адиабатическое течение

Соответствующим образом ведут себя и тепловые потоки через стенку канала. При $\Theta_a=-1,5$ для течения с постоянной вязкостью тепловой поток через стенку больше, чем для течения с переменной вязкостью на протяжении всего канала за счет большей температуры в тепловом пограничном слое (рис. 2, ∂), хотя для жидкости с $\mu=\text{const}$ значение $\bar{\Theta}$ ближе к Θ_a на большей части канала (рис. 5).

При $\Theta_a=1,5$ тепловой поток на начальном участке, оставаясь отрицательным, быстро уменьшается по абсолютной величине, а после образования теплового пограничного слоя почти не изменяется (рис. 6), пока диссипация механической энергии не станет существенной. После этого температура в тепловом пограничном слое становится выше температуры окружающей среды, и происходит обращение теплового потока (рис. 6), хотя средняя температура жидкости остается ниже Θ_a (рис. 5). Рост теплового потока на выходе из конфузора во всех случаях определяется интенсивностью диссипации энергии, что отчетливо показывает сравнение с тепловыми потоками, рассчитанными без учета диссипации (рис. 6).

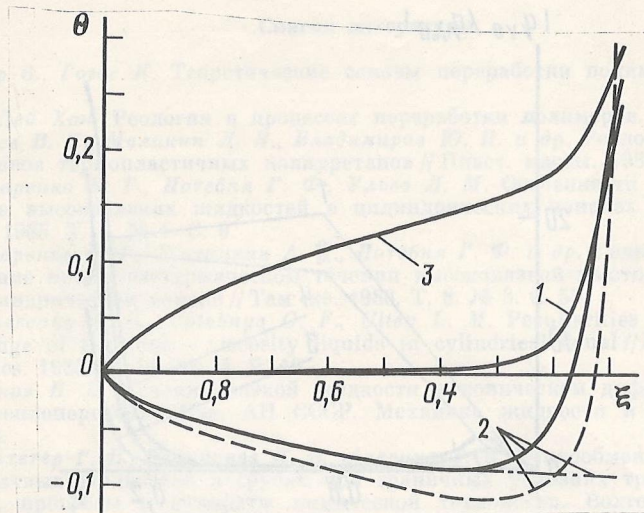


Рис. 5. Зависимость среднемассовой температуры от радиальной координаты: 1 – $\Theta_a=0$; 2 – $(-1,5)$; 3 – $\Theta_a=1,5$; 4 – адиабатическое течение; сплошные линии – для жидкости с переменной вязкостью, штрихпунктирная – для течения без учета диссипации энергии, пунктирная – для жидкости с постоянными свойствами и учетом диссипации

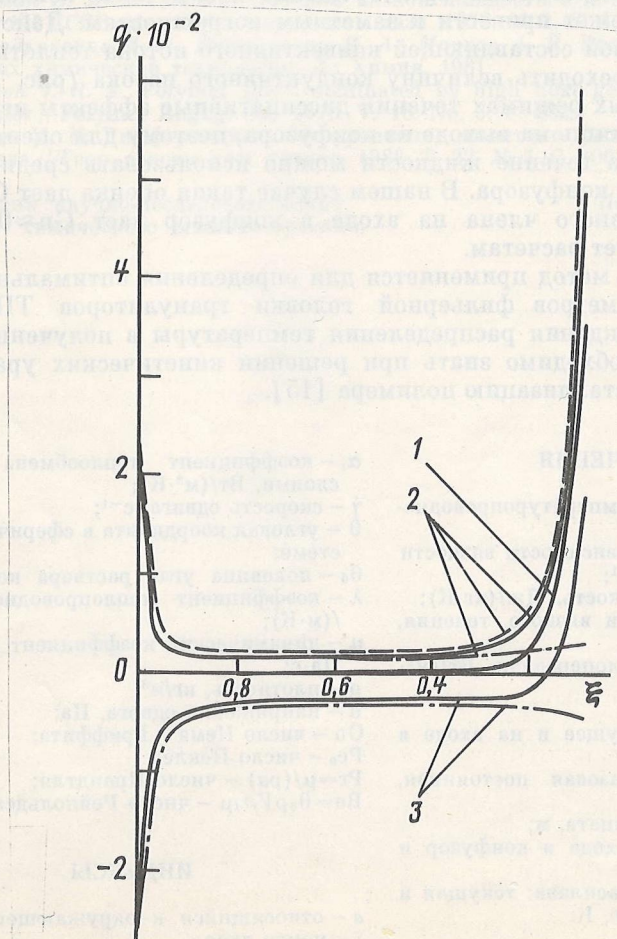


Рис. 6. Зависимость безразмерного теплового потока $q = Bi(\bar{\Theta}_N - \Theta_a)$ через стенку конфузора от ξ : 1 – $\Theta_a=0$; 2 – $(-1,5)$; 3 – $\Theta_a=1,5$; обозначения кривых – те же, что на рис. 5

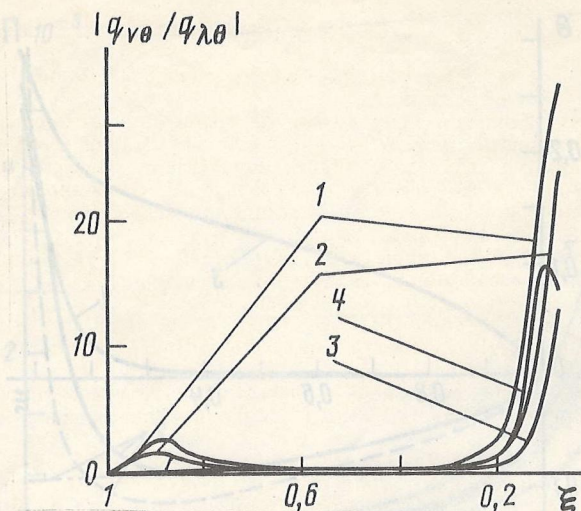


Рис. 7. Зависимость отношения конвективного теплового потока по угловой координате к кондуктивному от ξ : 1 – $\Theta_a=-1,5$; 2 – 1,5; 3 – $\Theta_a=0$; 4 – адиабатическое течение

Выше было отмечено, что пренебрежение поперечным конвективным теплопереносом может привести к заметным погрешностям. Действительно, величина угловой составляющей конвективного потока теплоты может во много раз превосходить величину кондуктивного потока (рис. 7).

В рассмотренных режимах течения диссипативные эффекты играли существенную роль лишь на выходе из конфузора, поэтому для оценки влияния диссипации на течение жидкости можно использовать среднюю скорость на выходе из конфузора. В нашем случае такая оценка дает $Gn \approx 225$, оценка диссипативного члена на входе в конфузор дает $Gn \approx 0,01$, что вполне соответствует расчетам.

Предложенный метод применяется для определения оптимальных конструктивных параметров фильтрной головки грануляторов ТПУ [4], а также для нахождения распределения температуры в полученных гранулах, которое необходимо знать при решении кинетических уравнений, описывающих кристаллизацию полимера [15].

ОБОЗНАЧЕНИЯ

- a – коэффициент температуропроводности, $\text{м}^2/\text{с}$;
- b – коэффициент в зависимости вязкости от температуры, K^{-1} ;
- c – удельная теплоемкость, $\text{Дж}/(\text{кг}\cdot\text{К})$;
- E – энергия активации вязкого течения, Дж/моль ;
- K – коэффициент теплопередачи, $\text{Вт}/(\text{м}^2\cdot\text{К})$;
- k – постоянная;
- P, P_0 – давление: текущее и на входе в конфузор, Па ;
- R – универсальная газовая постоянная, $\text{Дж}/(\text{моль}\cdot\text{К})$;
- r – радиальная координата, м ;
- R_0, r_0 – координаты входа в конфузор и выхода из него, м ;
- T, T_0 – температура расплава: текущая и на входе в конфузор, К ;
- V – скорость, $\text{м}/\text{с}$;

- α_i – коэффициент теплообмена между слоями, $\text{Вт}/(\text{м}^2\cdot\text{К})$;
- $\dot{\gamma}$ – скорость сдвига, с^{-1} ;
- θ – угловая координата в сферической системе;
- λ – половина угла раствора конфузора;
- λ – коэффициент теплопроводности, $\text{Вт}/(\text{м}\cdot\text{К})$;
- μ – динамический коэффициент вязкости, $\text{Па}\cdot\text{с}$;
- ρ – плотность, $\text{кг}/\text{м}^3$;
- σ – напряжение сдвига, Па ;
- Gn – число Нема – Гриффита;
- Pe_0 – число Пекле;
- $Pr = \mu/(\rho a)$ – число Прандтля;
- $Re = \theta_0 \rho V_r / \mu$ – число Рейнольдса.

ИНДЕКСЫ

- i – относящийся к окружающей среде;
- i – номер слоя.

Список литературы

1. Тадмор З., Гогос К. Теоретические основы переработки полимеров. М.: Химия, 1984.
2. Чанг Дей Хан. Реология в процессах переработки полимеров. М.: Химия, 1979.
3. Афаньев В. К., Малинин Л. Н., Владимиров Ю. И. и др. Реологические свойства расплавов термопластичных полиуретанов // Пласт. массы. 1981. № 8. С. 45.
4. Пономаренко В. Г., Потебня Г. Ф., Ульев Л. М. Особенности течения и теплообмена высоковязких жидкостей в цилиндрических каналах // Пром. теплотехника. 1985. Т. 7. № 1. С. 9.
5. Пономаренко В. Г., Житинкин А. А., Потебня Г. Ф. и др. Гидравлическое сопротивление при неизотермическом течении высоковязкой ньютоновской жидкости в цилиндрическом канале // Там же. 1986. Т. 8. № 3. С. 55.
6. Ponomarenko V. G., Potebnya G. F., Uliev L. M. Peculiarities of flow and heat exchange of the high - viscosity liquids in cylindrical canal // Fluid Mechan. Soviet Res. 1985. V. 14. No. 4. P. 40.
7. Найденов В. И. Течение вязкой жидкости в коническом диффузоре при наличии теплопередачи // Изв. АН СССР. Механика жидкости и газа. 1974. № 1. С. 138.
8. Фрайштегер Г. Б., Родионова Н. В., Аверина Т. В. Теплообмен нелинейно-вязкопластичных жидкостей в трубах при граничных условиях третьего рода // Реология, процессы и аппараты химической технологии. Волгоград: ВПИ, 1984. С. 96.
9. Торнер Р. В., Акугин М. С. Оборудование заводов по переработке пластмасс. М.: Химия, 1986.
10. Тарг С. М. Основные задачи теории ламинарных течений. М.: ГИТТЛ, 1951.
11. Себеси Т., Брэдшоу П. Конвективный теплообмен. М.: Мир, 1987.
12. Керчман В. И. Медленные течения вязкой жидкости в коническом диффузоре // Изв. АН СССР. Механика жидкости и газа. 1972. № 2. С. 41.
13. Протодьяконов И. О., Марцукевич Н. А., Марков А. В. Явления переноса в процессах химической технологии. Л.: Химия, 1981.
14. Pearson J. R. A. Polymer flows dominated by high heat generation and low heat transfer // Polymer Engng. Sci. 1978. V. 18. No. 3. P. 222.
15. Ильин М. И. Дифференциальные уравнения кинетики фазового перехода первого рода // Теор. основы хим. технол. 1988. Т. 22. № 5. С. 606.

Украинский научно-исследовательский
институт химического машиностроения,
Харьков

Поступила в редакцию 17.03.89